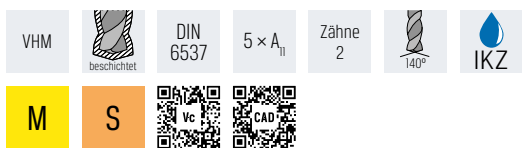


	M N/mm ²	S N/mm ²	
103456	(850)	tepluvzdorné superslitiny	Titan
103457			
vc = m/min.			
103456	50-80	40	35
103457			

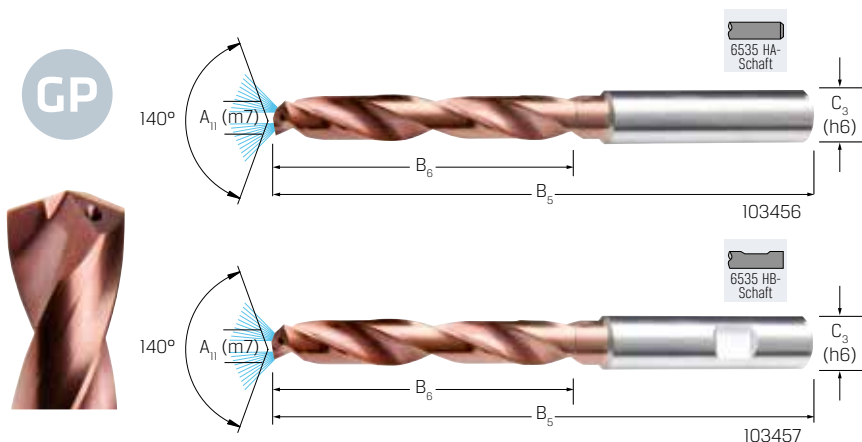


Provedení:

- Nejnovější technologie povrchových úprav založená na AlCrN
- První volba při vrtání do VA, duplexů, vysoce teplotně odolných a titanových slitin
- Optimalizovaná geometrie pro procesně spolehlivé obrábění
- Výstup otvoru s minimem otřepů (týká se průchodových otvorů)
- Vynikající životnost díky pečlivému výběru tvrdokovu (kvalita: ultra jemné zrna)
- Optimální automatické centrování
- Optimální tvorba třísek díky speciálnímu profilu
- Dobrý transport třísek díky opracovaným kanálům na třísky
- Velmi široké možnosti použití i za podmínek, které nejsou optimální
- Vysoký vystředěný běh
- Přesná kvalita otvorů
- Spirálové chladicí kanály

Upozornění:

Užitečná délka = B6-1,5x A11



Č. výt.	103456 GP, 5 x A ₁₁ Helica, HA, IKZ (RG 1028)		103457 GP, 5 x A ₁₁ Helica, HB, IKZ (RG 1028)		A11 mm	B5 mm	B6 mm	C3 mm	f mm/ot
2,00	●	—	—	—	2	62	26	4	0,030-0,060
2,10	●	—	—	—	2,1	62	26	4	0,030-0,060
2,15	●	—	—	—	2,15	62	26	4	0,030-0,060
2,20	●	—	—	—	2,2	62	26	4	0,030-0,060
2,30	●	—	—	—	2,3	62	26	4	0,030-0,060
2,40	●	—	—	—	2,4	62	26	4	0,030-0,060
2,50	●	—	—	—	2,5	62	26	4	0,040-0,070
2,60	●	—	—	—	2,6	62	26	4	0,040-0,070
2,65	●	—	—	—	2,65	62	26	4	0,040-0,070
2,70	●	—	—	—	2,7	62	26	4	0,040-0,070
2,80	●	—	—	—	2,8	62	26	4	0,040-0,070
2,85	●	—	—	—	2,85	62	26	4	0,040-0,070
2,90	●	—	—	—	2,9	62	26	4	0,040-0,070
3,00	●	●	●	●	3	66	28	6	0,040-0,080
3,10	●	●	●	●	3,1	66	28	6	0,040-0,080
3,20	●	●	●	●	3,2	66	28	6	0,040-0,080
3,25	●	●	●	●	3,25	66	28	6	0,040-0,080
3,30	●	●	●	●	3,3	66	28	6	0,040-0,080
3,40	●	●	●	●	3,4	66	28	6	0,040-0,080
3,50	●	●	●	●	3,5	66	28	6	0,040-0,080
3,60	●	●	●	●	3,6	66	28	6	0,040-0,080
3,70	●	●	●	●	3,7	66	28	6	0,040-0,080
3,80	●	●	●	●	3,8	74	36	6	0,040-0,080
3,90	●	●	●	●	3,9	74	36	6	0,040-0,080
4,00	●	●	●	●	4	74	36	6	0,060-0,100
4,10	●	●	●	●	4,1	74	36	6	0,060-0,100
4,20	●	●	●	●	4,2	74	36	6	0,060-0,100
4,30	●	●	●	●	4,3	74	36	6	0,060-0,100
4,40	●	●	●	●	4,4	74	36	6	0,060-0,100
4,50	●	●	●	●	4,5	74	36	6	0,060-0,100
4,60	●	●	●	●	4,6	74	36	6	0,060-0,100
4,65	●	●	●	●	4,65	74	36	6	0,060-0,100
4,70	●	●	●	●	4,7	74	36	6	0,060-0,100
4,80	●	●	●	●	4,8	82	44	6	0,060-0,100
4,90	●	●	●	●	4,9	82	44	6	0,060-0,100
5,00	●	●	●	●	5	82	44	6	0,070-0,120
5,10	●	●	●	●	5,1	82	44	6	0,070-0,120
5,20	●	●	●	●	5,2	82	44	6	0,070-0,120
5,30	●	●	●	●	5,3	82	44	6	0,070-0,120
5,40	●	●	●	●	5,4	82	44	6	0,070-0,120
5,50	●	●	●	●	5,5	82	44	6	0,070-0,120
5,55	●	●	●	●	5,55	82	44	6	0,070-0,120
5,60	●	●	●	●	5,6	82	44	6	0,070-0,120
5,70	●	●	●	●	5,7	82	44	6	0,070-0,120
5,80	●	●	●	●	5,8	82	44	6	0,070-0,120
5,90	●	●	●	●	5,9	82	44	6	0,070-0,120
6,00	●	●	●	●	6	82	44	6	0,080-0,140

Č. výt.	103456 GP, 5 x A ₁₁ Helica, HA, IKZ (RG 1028)		103457 GP, 5 x A ₁₁ Helica, HB, IKZ (RG 1028)		A11 mm	B5 mm	B6 mm	C3 mm	f mm/ot
6,10	●	●	●	●	6,1	91	53	8	0,080-0,140
6,20	●	●	●	●	6,2	91	53	8	0,080-0,140
6,30	●	●	●	●	6,3	91	53	8	0,080-0,140
6,40	●	●	●	●	6,4	91	53	8	0,080-0,140
6,50	●	●	●	●	6,5	91	53	8	0,080-0,140
6,60	●	●	●	●	6,6	91	53	8	0,080-0,140
6,70	●	●	●	●	6,7	91	53	8	0,080-0,140
6,80	●	●	●	●	6,8	91	53	8	0,080-0,140
6,90	●	●	●	●	6,9	91	53	8	0,080-0,140
7,00	●	●	●	●	7	91	53	8	0,090-0,150
7,10	●	●	●	●	7,1	91	53	8	0,090-0,150
7,20	●	●	●	●	7,2	91	53	8	0,090-0,150
7,30	●	●	●	●	7,3	91	53	8	0,090-0,150
7,40	●	●	●	●	7,4	91	53	8	0,090-0,150
7,45	●	●	●	●	7,45	91	53	8	0,090-0,150
7,50	●	●	●	●	7,5	91	53	8	0,090-0,150
7,55	●	●	●	●	7,55	91	53	8	0,090-0,150
7,60	●	●	●	●	7,6	91	53	8	0,090-0,150
7,70	●	●	●	●	7,7	91	53	8	0,090-0,150
7,80	●	●	●	●	7,8	91	53	8	0,090-0,150
7,90	●	●	●	●	7,9	91	53	8	0,090-0,150
8,00	●	●	●	●	8	91	53	8	0,090-0,160
8,10	●	●	●	●	8,1	103	61	10	0,090-0,160
8,20	●	●	●	●	8,2	103	61	10	0,090-0,160
8,30	●	●	●	●	8,3	103	61	10	0,090-0,160
8,40	●	●	●	●	8,4	103	61	10	0,090-0,160
8,50	●	●	●	●	8,5	103	61	10	0,090-0,160
8,60	●	●	●	●	8,6	103	61	10	0,090-0,160
8,70	●	●	●	●	8,7	103	61	10	0,090-0,160
8,80	●	●	●	●	8,8	103	61	10	0,090-0,160
8,90	●	●	●	●	8,9	103	61	10	0,090-0,160
9,00	●	●	●	●	9	103	61	10	0,100-0,170
9,10	●	●	●	●	9,1	103	61	10	0,100-0,170
9,20	●	●	●	●	9,2	103	61	10	0,100-0,170
9,30	●	●	●	●	9,3	103	61	10	0,100-0,170
9,35	●	●	●	●	9,35	103	61	10	0,100-0,170
9,40	●	●	●	●	9,4	103	61	10	0,100-0,170
9,50	●	●	●	●	9,5	103	61	10	0,100-0,170
9,55	●	●	●	●	9,55	103	61	10	0,100-0,170
9,60	●	●	●	●	9,6	103	61	10	0,100-0,170
9,70	●	●	●	●	9,7	103	61	10	0,100-0,170
9,80	●	●	●	●	9,8	103	61	10	0,100-0,170
9,90	●	●	●	●	9,9	103	61	10	0,100-0,170
10,00	●	●	●	●	10	103	61	10	0,100-0,180
10,10	●	●	●	●	10,1	118	71	12	0,100-0,180
10,20	●	●	●	●	10,2	118	71	12	0,100-0,180
10,30	●	●	●	●	10,3	118	71	12	0,100-0,180

Č. výt.	103456 GP, 5 x A ₁₁ Helica, HA, IKZ (RG 1028)		103457 GP, 5 x A ₁₁ Helica, HB, IKZ (RG 1028)		A11 mm	B5 mm	B6 mm	C3 mm	f mm/ot
10,40	●	●	●	●	10,4	118	71	12	0,100-0,180
10,50	●	●	●	●	10,5	118	71	12	0,100-0,180
10,60	●	●	●	●	10,6	118	71	12	0,100-0,180
10,70	●	●	●	●	10,7	118	71	12	0,100-0,180
10,80	●	●	●	●	10,8	118	71	12	0,100-0,180
10,90	●	●	●	●	10,9	118	71	12	0,100-0,180
11,00	●	●	●	●	11	118	71	12	0,100-0,180
11,10	●	●	●	●	11,1	118	71	12	0,100-0,180
11,20	●	●	●	●	11,2	118	71	12	0,100-0,180
11,30	●	●	●	●	11,3	118	71	12	0,100-0,180
11,40	●	●	●	●	11,4	118	71	12	0,100-0,180
11,50	●	●	●	●	11,5	118	71	12	0,100-0,180
11,60	●	●	●	●	11,6	118	71	12	0,100-0,180
11,70	●	●	●	●	11,7	118	71	12	0,100-0,180
11,80	●	●	●	●	11,8	118	71	12	0,100-0,180
11,90	●	●	●	●	11,9	118	71	12	0,100-0,180
12,00	●	●	●	●	12	118	71	12	0,120-0,200
12,20	●	●	●	●	12,2	124	77	14	0,120-0,200
12,50	●	●	●	●	12,5	124	77	14	0,120-0,200
12,80	●	●	●	●	12,8	124	77	14	0,120-0,200
13,00	●	●	●	●	13	124	77	14	0,120-0,200
13,50	●	●	●	●	13,5	124	77	14	0,120-0,200
13,80	●	●	●	●	13,8	124	77	14	0,120-0,200
14,00	●	●	●	●	14	124	77	14	0,130-0,220
14,20	●	●	●	●	14,2	133	83	16	0,130-0,220
14,50	●	●	●	●	14,5	133	83	16	0,130-0,220
14,80	●	●	●	●	14,8	133	83	16	0,130-0,220
15,10	●	●	●	●	15,1	133	83	16	0,130-0,220
15,30	●	●	●	●	15,3	133	83	16	0,130-0,220
15,50	●	●	●	●	15,5	133	83	16	0,130-0,220
15,80	●	●	●	●	15,8	133	83	16	0,130-0,220
16,00	●	●	●	●	16	133	83	16	0,140-0,230
16,50	●	●	●	●	16,5	143	93	18	0,140-0,230